



БИООРГАНИЧЕСКАЯ ХИМИЯ

том 8 * № 5 * 1982

УДК 547.963.32.02:577.155.2

ДНК КИНЕТОПЛАСТА *CRITHIDIA ONCOPELTI*. РЕСТРИКЦИОННОЕ КАРТИРОВАНИЕ МАКСИКОЛЬЦЕВОЙ ДНК

Маслов Д. А., Энтелис Н. С., Колесников А. А.,
Зайцева Г. Н.

Московский государственный университет им. М. В. Ломоносова

Кинетопластная ДНК (кпДНК) *Crithidia oncophelti* – ассоциат, состоящий из мини- и максикольцевых молекул. Миникольцевые молекулы ДНК (основной компонент ассоциата) представлены гетерогенной популяцией, состоящей из нескольких классов молекул с величинами от 1,1 до 2,6 тыс. пар оснований (тыс. п. о.). В результате анализа с помощью эндонуклеаз рестрикции была выявлена гетерогенность в первичной структуре миникольцевых ДНК.

Показано, что максикольцевые молекулы ДНК гомогенны и содержат около 24,5 тыс. п. о. На основании данных по анализу целого ассоциата кпДНК и гибридной плазмиды pCo52, содержащей встроенный максикольцевой *Bam*HI-фрагмент кпДНК (12 тыс. п. о.), с использованием эндонуклеаз рестрикции *Sall*, *Bam*HI, *Hind*III, *Eco*RI, *Bsp*I и *Msp*I составлена рестрикционная карта максикольцевой молекулы кпДНК *C. oncophelti*.

Кинетопластная ДНК (кпДНК) трипаносомид организована в виде сложного ассоциата, в состав которого входят два типа кольцевых молекул ДНК: так называемые миникольцевые, составляющие основную массу кпДНК (около 10^4 молекул), и максикольцевые, содержащиеся в количестве 20–50 молекул на один ассоциат [1]. Предполагается, что оба типа кольцевых молекул удерживаются в составе ассоциата благодаря образованию катенанов. Размер молекул обоих типов является видоспецифичным. Величина миникольцевых ДНК варьирует от 1 тыс. пар оснований (тыс. п. о.) у трипаносом до 3 тыс. п. о. у критидий. Величина максикольцевых ДНК составляет от 20 до 38 тыс. п. о. соответственно. Максикольца трипаносомид являются аналогом митохондриального генома других эукариот [2–4]. Роль миникольцевых ДНК до настоящего времени неясна.

В последние годы ведутся интенсивные исследования первичной структуры отдельных компонентов кпДНК, выделение которых стало возможным лишь с использованием ряда методов генной инженерии [2, 5, 6]. Это позволяет приступить к построению генетических карт митохондриального генома трипаносомид, к решению вопросов об эволюции кпДНК и на этой основе к установлению филогенетических связей внутри семейства Тгурапосоматидae. Однако основное внимание уделяется узкой группе так называемых «высших» трипаносомид, паразитирующих в крови теплокровных животных. Тем не менее выявление общих закономерностей в строении и функционировании кпДНК предполагает сравнительное изучение видов, представляющих разные группы этого семейства. В настоящей работе ставилась задача определить размер и построить рестрикционную карту максикольцевой молекулы кпДНК представителя «низших» трипаносомид *Crithidia oncophelti*.

Электронно-микроскопическая характеристика кпДНК *C. oncophelti*

Как и у других трипаносомид [7–9], растянутый в белковом монослое ассоциат кпДНК *C. oncophelti* (рис. 1а) имеет вид сложной сети («network»), состоящей из переплетенных кольцевых молекул. Следует отметить, что внешний вид и основные структурные элементы этой сети

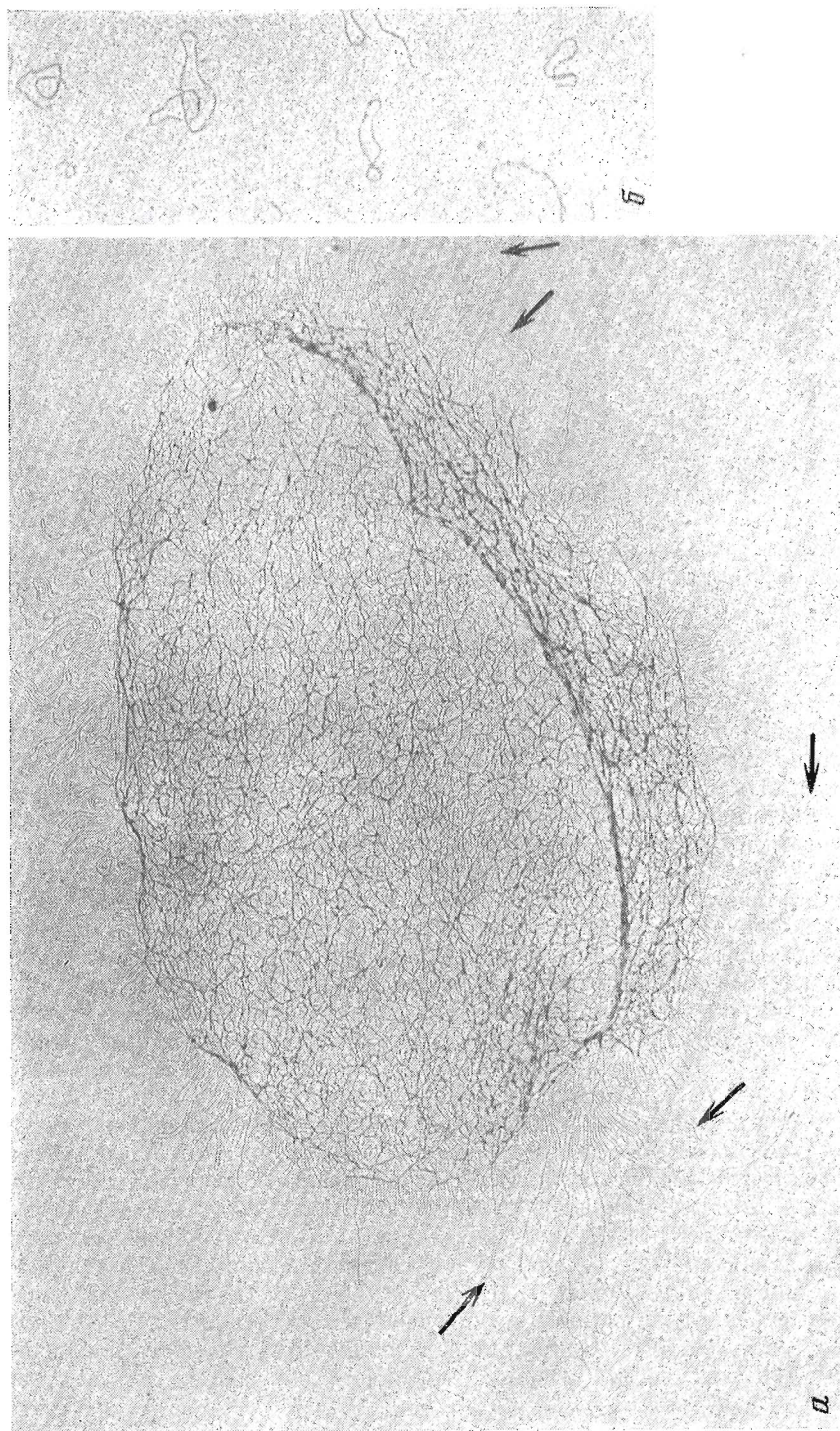


Рис. 1. Электронные микроскопии клеток *S. oneidensis* — матовый ассоциат кПДНК. Стрелками отмечены петли максимальных молекул ДНК. Увеличение 11 000 раз. б — свободные миникольцевые молекулы ДНК с различной контурной длиной, освобождающиеся при расщеплении ассоциата кПДНК эндонуклеазой рестрикции *Sall*. Увеличение 45 000 раз

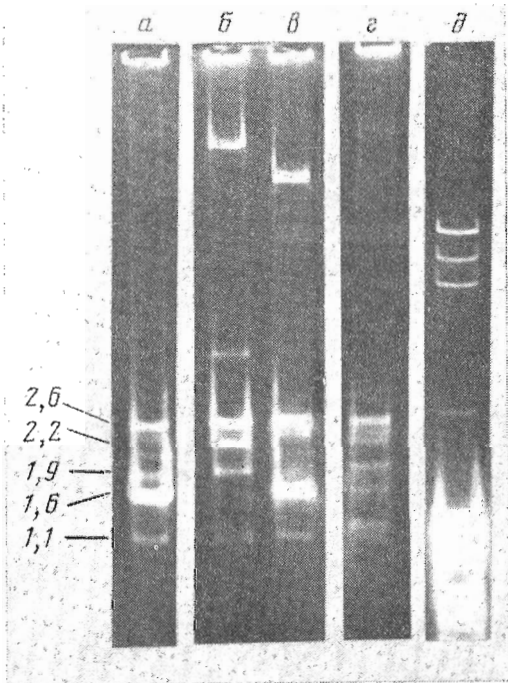


Рис. 2. Электрофоретическое разделение в 0,7% агарозном геле продуктов расщепления кпДНК эндонуклеазами рестрикции: *a* – *Sma*I, *b* – *Eco*RI, *c* – *Bam*H, *d* – *Xba*I. Слева указаны величины основных классов миникольцевых ДНК в тыс. пар оснований

тически для всей группы трипаносомид. Основным компонентом ассоциата кпДНК являются миникольцевые молекулы ДНК, которые располагаются по периферии ассоциата в виде многочисленных коротких петель. На электронных микрофотографиях препаратов кпДНК, частично разрушенных механически или обработанных эндонуклеазами рестрикции *Eco*RI или *Sal*I (рис. 1б), наряду с линейными молекулами в заметных количествах обнаруживаются свободные миникольцевые молекулы ДНК. Большинство наблюдаемых миниколец находится в релаксированной форме. По контурной длине миникольца могут быть подразделены на 5–7 дискретных классов с размерами от 0,4 до 0,8 мкм. В настоящее время нами исследуется характер распределения миниколец по размеру.

Второй компонент ассоциата кпДНК трипаносомид — большие кольцевые молекулы ДНК, длина которых на порядок превышает длину миникольцевых ДНК. Как правило, они обнаруживаются в виде нескольких длинных петель, наблюдаемых по краю ассоциата [1, 9], и лишь изредка — в свободном виде [10]. На электронной микрофотографии ассоциата кпДНК *C. oncophelli* (рис. 1а) стрелками отмечены длинные краевые петли. В результате обработки кпДНК эндонуклеазами рестрикции *Eco*RI или *Sal*I длинные периферические петли исчезают. При электрофорезе в агарозном геле *Eco*RI- или *Sal*I-гидролизатов кпДНК наблюдается появление зон, характерных для фрагментов максикольцевой ДНК и отличающихся от зон миникольцевых ДНК. Таким образом, наблюдаемые длинные краевые петли, по-видимому, образованы максикольцами, находящимися в составе ассоциата. Однако нельзя исключить, что часть наблюдавшихся нами больших петель в действительности образована олигомерами миниколец.

Величины рестрикционных фрагментов максикольцевых молекул ДНК
кинетопласта *C. oncopelti*

Эндонуклеаза рестрикции	Величины фрагментов, тыс. п. о.	Сумма величин фрагментов, тыс. п. о.
<i>SalI</i>	24,5	24,5
<i>EcoRI</i>	19,4; 3,3; 4×0,45 *	24,5
<i>BamHI</i>	12,5; 12,0	24,5
<i>HindIII</i>	10,0; 10,0; 4,7; 0,18 *	24,9
<i>MspI</i>	8,3; 6,7; 6,0; 2,6; 0,28 *; 0,17 *	24,1
<i>BspI</i>	7,5; 5,8; 4,8; 3,4; 0,6 *; 5×0,45 *	24,4
<i>BamHI+EcoRI</i>	12,5; 4,2; 3,3; 2,2 *; 4×0,45 *	24,0
<i>BamHI+HindIII</i>	10,0; 8,8; 3,9; 1,2 *; 0,95 *; 0,18 *	25,1
<i>BamHI+MspI</i>	6,7; 6,0; 4,7; 3,4; 2,6; 0,28 *; 0,17 *	23,9
<i>BamHI+BspI</i>	5,7; 5,5; 4,9; 3,5; 2,0; 0,6 *; 5×0,45 *; 0,28 *	24,5
<i>SalI+EcoRI</i>	12,2; 7,5; 3,3; 4×0,45 *	24,8
<i>SalI+BspI</i>	7,5; 5,6; 3,6; 3,4; 1,0 **; 0,6 *; 5×0,45 *	24,0
<i>SalI+BamHI</i>	12,0; 6,9; 5,6	24,5
<i>SalI+HindIII</i>	10,0; 7,6; 4,8; 2,0 **; 0,18 *	24,6
<i>SalI+MspI</i>	8,3; 6,7; 6,0; 2,1; 0,5 **; 0,28 *; 0,17 *	24,1
<i>HindIII+EcoRI</i>	10,0; 4,6; 3,4; 3,2; 1,3 *; 4×0,45 *; 0,18 *	24,5
<i>HindIII+MspI</i>	6,0; 6,0; 4,2; 3,7; 2,2; 0,8 *; 0,4 **; 0,28 *; 0,18; 0,17 *	24,0
<i>HindIII+BspI</i>	5,6; 4,4; 2,9; 2,6; 2,4; 2,1; 0,8 *; 0,6 *; 5×0,45 *; 0,18 *	23,9
<i>EcoRI+BspI</i>	5,6; 4,7; 4,3; 3,4; 3,1; 0,6 *; 5×0,32 *; 5×0,13 *	24,0

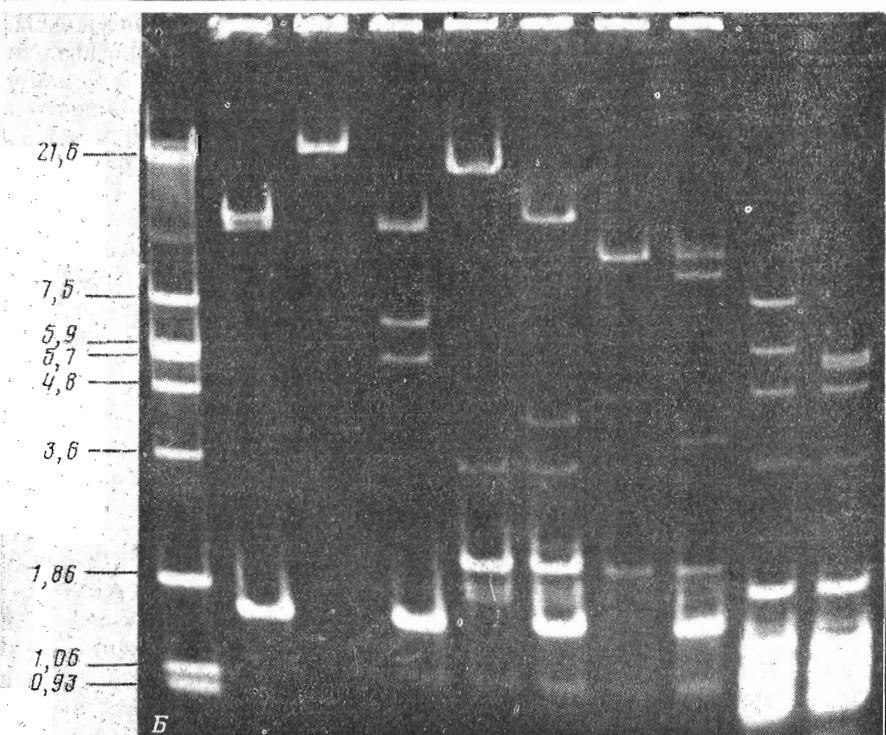
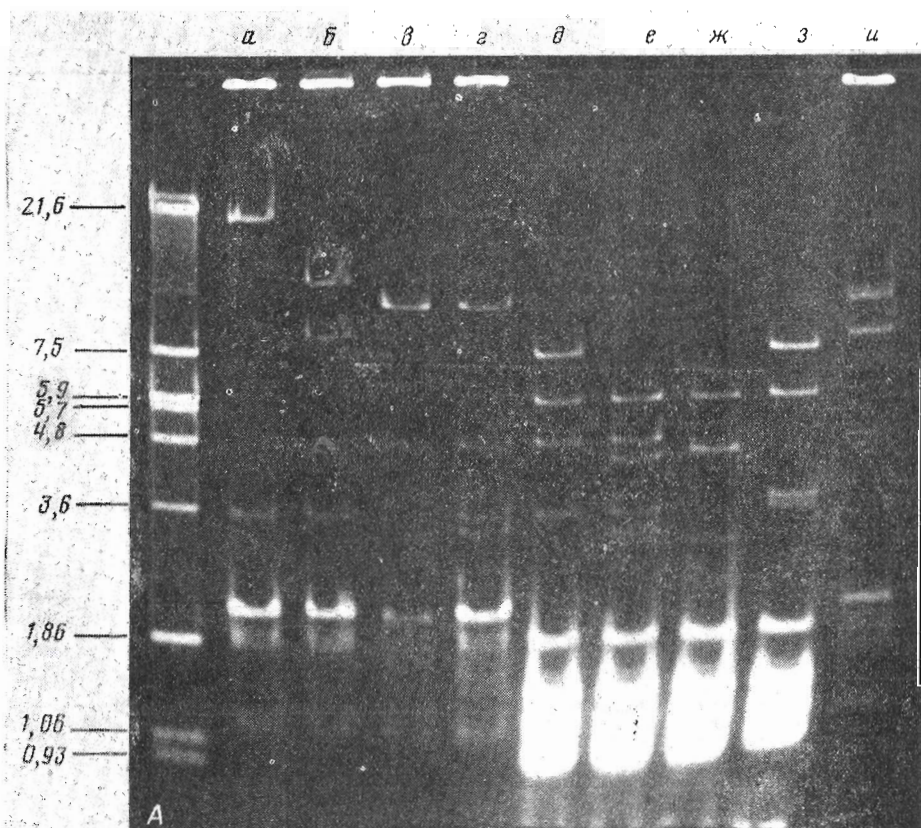
* Величины фрагментов были определены с использованием плазмида pCo52.

** Величины предполагаемых мелких фрагментов, расположенных в неклонированной части максикольцевой молекулы.

*Анализ кпДНК *Critchidia oncopelti* с помощью
эндонуклеаз рестрикции*

В результате расщепления кпДНК рестрикционными эндонуклеазами и электрофоретического разделения продуктов гидролиза можно выделить основные структурные компоненты ассоциата. Миникольцевые молекулы ДНК при электрофорезе в геле образуют серию полос, подвижность которых соответствует молекулам с величиной 2,6; 2,2; 1,9; 1,6 и 1,1 тыс. п.о. (рис. 2). Специфика расщепления ассоциата кпДНК различными эндонуклеазами (кроме *BspI* и *MspI*) сказывается в основном на общем количестве удаленных миниколец и на соотношении интенсивностей отдельных зон. На электронных микрографиях продуктов расщепления кпДНК рестриктазами *EcoRI* и *SalI* наряду с линейными молекулами обнаруживаются свободные замкнутые миникольца с такими же размерами, что и у линейных молекул. Мы предполагаем, что наблюдаемая в гелях множественность миникольцевых зон обусловлена не фрагментацией этих молекул рестриктазами, а скорее всего высвобождением миниколец, относящихся к различным классам длии. Линеаризованные миникольца освобождаются в результате разрыва, вносимого в молекулу эндонуклеазой, а замкнутые — вследствие расщепления удерживающих их молекул.

Значительная часть кпДНК оказывается нерасщепленной, за исключением тех случаев, когда используются рестриктазы *BspI* и *MspI*. Эта часть кпДНК представляет собой частично разрушенный ассоциат, который из-за своих размеров не может войти в гель и имеет вид интенсивной зоны на старте. Ни увеличение времени инкубации, ни введение дополнительных количеств ферментов не приводят к полному расщеплению кпДНК рестриктазами, узнающими и расщепляющими гексануклеотидные последовательности. Неспособность большинства рестриктаз расщеплять все входящие в ассоциат молекулы ДНК, отмеченная для большинства трипаносомид [1], свидетельствует о значительной гетерогенности первичной структуры миникольцевых ДНК. Однако обработка кпДНК



C. oncopelti рестриктазами *BspI* и *MspI* приводят к полному расщеплению этой ДНК. В этом случае вследствие гетерогенности миникольцевых молекул образующийся набор фрагментов оказывается слишком сложным для интерпретации. Поиск закономерностей в структуре миникольцевых ДНК требует изучения отдельных классов этих молекул.

Гетерогенность миникольцевых молекул по длине и первичной структуре наблюдалась также и при анализе отдельных клонов *C. oncopelti*.

При электрофорезе в агарозном геле продуктов расщепления кпДНК эндонуклеазами рестрикции *EcoRI*, *SalI*, *BamHI*, *BspI*, *MspI* и *HindIII* помимо полос, образованных миникольцевыми ДНК, наблюдаются зоны с меньшей подвижностью, содержащие фрагменты максикольцевых молекул (рис. 3A, B). Набор этих зон характерен для каждой из рестриктаз, причем расщепление всех максикольцевых ДНК и эквимолярность образующихся фрагментов свидетельствуют о гомогенности этих молекул. Данные о величине рестрикционных фрагментов максикольцевых ДНК представлены в таблице. В среднем сумма величин фрагментов максикольцевых молекул составляет около 24,5 тыс. п.о. Это позволяет предположить, что величина исходной молекулы приблизительно равна этому значению. Рестриктазы *KpnI*, *SmaI*, *PstI* и *XbaI* не расщепляют максикольцевые ДНК *C. oncopelti*.

Из данных таблицы и рис. 3Б следует, что максикольцевые молекулы содержат один сайт узнавания для эндонуклеазы рестрикции *SalI* (рис. 3Б, б), два — для *BamHI* (рис. 3Б, а), три — для *HindIII* (рис. 3Б, е) (наличие четвертого сайта расщепления *HindIII* было выявлено при анализе плазмида pCo52 — см. ниже). Эндонуклеаза *EcoRI* (рис. 3Б, г) расщепляет максикольцевую ДНК на два крупных фрагмента (19,4 и 3,3 тыс. п.о.), сумма которых меньше величины исходной молекулы. Следовательно, эта ДНК имеет не менее трех *EcoRI*-сайтов. Взаимная локализация *SalI*-, *BamHI*-, *HindIII*- и некоторых *EcoRI*-сайтов обеспечивает основу для дальнейшего построения более подробной рестрикционной карты.

Единственный *SalI*-сайт на максикольцевой ДНК расположен внутри *BamHI*-фрагмента (12,5 тыс. п.о.), разделяя его на субфрагменты величиной 6,9 и 5,6 тыс. п.о. (рис. 3Б, а—в). Рассматриваемый *BamHI*-фрагмент находится внутри *EcoRI*-фрагмента размером 19,4 тыс. п.о. (рис. 3Б, а, г, д). Это означает, что концы последнего находятся во втором *BamHI*-фрагменте величиной 12,0 тыс. п.о. Один из двух концевых *EcoRI*-*BamHI*-фрагментов (4,2 тыс. п.о.) виден на рис. 3Б, д. Второй фрагмент (2,2 тыс. п.о.) не идентифицируется, поскольку расположен в зоне миникольцевых молекул. *EcoRI*-*BamHI*-фрагмент (4,2 тыс. п.о.) должен примыкать к одному из двух *BamHI*-*SalI*-фрагментов: либо к фрагменту величиной 6,9 тыс. п.о., либо к фрагменту величиной 5,6 тыс. п.о. При расщеплении *EcoRI*-фрагмента (19,4 тыс. п.о.) рестриктазой *SalI* образуются субфрагменты величиной 12,2 и 7,5 тыс. п.о. (рис. 3А, а, б). Ясно, что такому условию удовлетворяет лишь пограничное расположение фрагментов размером 4,2 и 6,9 тыс. п.о., а также фрагментов величиной 2,2 и 5,6 тыс. п.о. Отсутствие точного совпадения величины большого фрагмента (например, *EcoRI*-фрагмента размером 19,4 тыс. п.о.) с суммой величин, составляющих его субфрагментов (*EcoRI*-*SalI*-фрагментов размером 12,2 и 7,5 тыс. п.о.), объясняется значительной погрешностью определения величины фрагмента такого порядка с помощью электрофореза в агарозном геле.

Таким образом, установлено взаимное расположение единственного сайта узнавания *SalI*, двух сайтов *BamHI* и двух сайтов *EcoRI* на максикольцевых молекулах.

Рис. 3. Электрофоретический анализ в 0,7% агарозном геле расщепления максикольцевых молекул кпДНК эндонуклеазами рестрикции. А: а — *EcoRI*, б — *EcoRI*+*SalI*, в — *HindIII*, г — *HindIII*+*EcoRI*, д — *BspI*, е — *BspI*+*EcoRI*, ж — *BspI*+*HindIII*, з — *BspI*+*SalI*, и — *HindIII*+*SalI*. Б: а — *BamHI*, б — *SalI*, в — *BamHI*+*SalI*, г — *EcoRI*, д — *BamHI*+*EcoRI*, е — *HindIII*, ж — *HindIII*+*BamHI*, з — *BspI*, и — *BspI*+*BamHI*. В качестве свидетелей использовали смесь *EcoRI*-фрагментов ДНК фага λ и *EcoRI*-фрагментов ДНК плазмида pBR322. Слева указаны размеры фрагментов ДНК свидетелей в тыс. п.о.

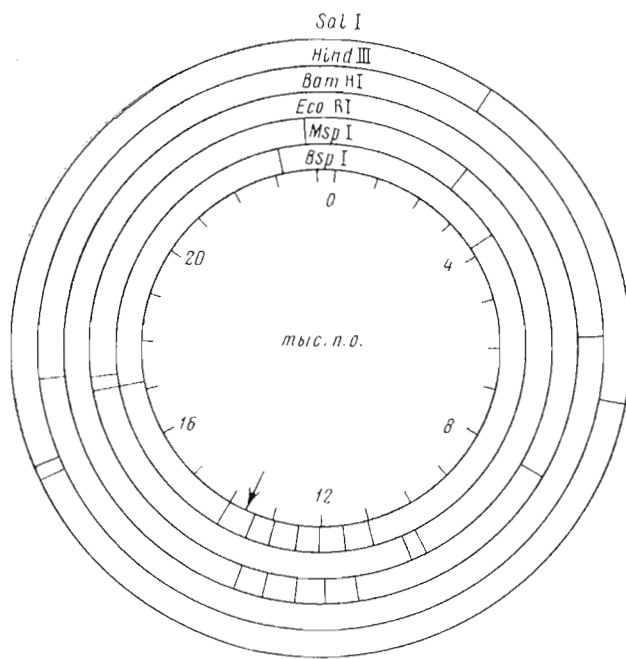


Рис. 4. Рестрикционная карта максикольцевой молекулы кпДНК *Critchidia oncopelti*. Стрелкой обозначен *Bsp*I-фрагмент, обладающий аномальной электрофоретической подвижностью

кольцевой ДНК кинетопласта *C. oncopelti*. С помощью расщепления максикольцевой ДНК рестриктазами *Hind*III, *Hind*III+*Sal*I и *Hind*III+*Bam*HI можно установить локализацию трех *Hind*III-сайтов (рис. 3A-e, u; B, e, ж).

Данные рестрикционного анализа целого ассоциата кпДНК *C. oncopelti* позволяют определить взаимную локализацию лишь нескольких крупных фрагментов максикольцевой ДНК. Карта, составленная на основании этих данных, является неполной, поскольку существуют трудности, связанные с обнаружением и локализацией фрагментов максикольцевой ДНК, которые не превышают по величине миникольцевые ДНК. Для построения полной рестрикционной карты с учетом мелких фрагментов необходимо осуществить клонирование и последующее картирование крупных фрагментов максикольцевой ДНК, взаимная локализация которых может быть установлена непосредственно в результате расщепления целого ассоциата кпДНК. Нам удалось клонировать один из двух *Bam*HI-фрагментов величиной 12 тыс. п.о., составляющий около 48% длины максикольцевой молекулы ДНК [11]. С помощью полученной гибридной плазмида pCo52 удалось определить взаимную локализацию ряда мелких фрагментов, образуемых эндонуклеазами *Eco*RI, *Bsp*I, *Msp*I и *Hind*III (в таблице отмечены звездочкой). Составленная рестрикционная карта представлена на рис. 4. Однако нельзя исключить возможность появления неидентифицированных мелких фрагментов ДНК ($\leq 0,2-0,3$ тыс. п.о.) при расщеплении эндонуклеазами рестрикции второго пеклопированного *Bam*HI-фрагмента максикольцевой ДНК.

Следует отметить две структурные особенности максикольцевой ДНК. В результате полного расщепления плазмида pCo52 по *Eco*RI-сайтам образуется фрагмент величиной 0,45 тыс. п.о. в количестве, превышающем эквимолярное [11]. При частичном расщеплении плазмидной ДНК образуются дополнительные фрагменты, эквивалентные двум, трем и четырем фрагментам величиной 0,45 тыс. п.о. Рестрикция *Bsp*I полностью расщепляет выделенные фрагменты (0,45 тыс. п.о.) на субфрагменты величиной 0,32 и 0,13 тыс. п.о. Это свидетельствует в пользу однородности исходных фрагментов. На основании этих данных мы предполагаем, что

в максикольцевой молекуле *C. oncopelti* имеется участок, содержащий четырехкратно повторяющуюся последовательность величиной 0,45 тыс. п.о.

Другая особенность заключается в несоответствии подвижности некоторых мелких рестрикционных фрагментов максикольцевой ДНК при электрофорезе в агарозном и полиакриламидном гелях. В наибольшей степени это характерно для *BspI*-фрагмента, отмеченного на рестрикционной карте стрелкой (рис. 4). При электрофорезе в 3% полиакриламидном геле, содержащем 0,5% агарозы, этот фрагмент обладает подвижностью, соответствующей фрагменту величиной 1,05 тыс. п.о., в то время как его величина, определенная по подвижности в 1% агарозном геле, составляет 0,6 тыс. п.о. Подобная вариабельность подвижности отмечена для некоторых миникольцевых фрагментов кпДНК *Leishmania tarentolae* [12, 13]. При этом показано, что определение величины на основе подвижности в агарозном геле более достоверно. Аномальная подвижность рестрикционных фрагментов ДНК может объясняться их необычной пространственной структурой, поскольку в ряде случаев после расщепления таких фрагментов образующиеся субфрагменты не обладают аномальной подвижностью [13].

Сравнение известных рестрикционных карт максикольцевых молекул кпДНК *Trypanosoma brucei* [14, 15], *T. equiperdum* [16, 17] и *L. tarentolae* [2] позволяет выявить общее свойство для всех перечисленных представителей «высших» трипаносомид — наличие в таких молекулах не расщепляемого рестриктазами протяженного А·Т-богатого участка — «silent region» [4]. В случае *C. oncopelti* это может быть последовательность, ограниченная сайтами *BamHI* и *BspI* и составляющая около 20% длины всей молекулы максикольцевой ДНК.

Другая отличительная черта максикольцевой ДНК *C. oncopelti* — наличие участка, возможно, содержащего повторяющуюся последовательность. Представляется интересным выяснить вопрос о функции этой структуры, а также о наличии подобных структур у других представителей «низших» трипаносомид.

Третья особенность кпДНК *C. oncopelti* — значительно меньший размер максикольцевой ДНК (24,5 тыс. п.о.) по сравнению с максикольцевыми кпДНК *C. luciliae* и *C. fasciculata* (38 тыс. п.о.). Это может быть следствием несколько обособленного положения *C. oncopelti* среди других представителей рода *Crithidia*. Довольно неожиданным оказалось то, что максикольцевая ДНК *C. oncopelti* близка по размеру к максикольцевой ДНК *T. mega* [18, 19].

Составленная нами рестрикционная карта максикольцевой молекулы кпДНК *C. oncopelti* в настоящее время используется для транскрипционного картирования, а также для сравнительного изучения организации митохондриального генома «низших» трипаносомид.

Экспериментальная часть

Работу проводили на культуральной форме *Crithidia oncopelti*. Первоначально культура была получена от д-ра О. Ировича (ЧССР). В нашей лаборатории штамм поддерживается в культуральной форме с 1970 г. Выращивание клеток проводили в течение 5—6 сут при 25° С в среде следующего состава (на 1 л): пептои (Chemapol, ЧССР) — 15 г; КН₂РО₄ — 0,5 г; НА₂НРО₄ · 12Н₂O — 1,8 г; NaCl — 5 г; KCl — 2; глюкоза — 10 г и бромид тиамина — 6 мг.

Ассоциат кпДНК выделяли способом, разработанным нами на основе описанных ранее методов [14, 20]. Способ основан на избирательном осаждении быстроседиментирующего ассоциата кпДНК при центрифугировании лизата клеток. 10 г биомассы *C. oncopelti* суспендировали в 150 мл буфера, содержащего 10 мМ трис-HCl (рН 8,0), 250 мМ EDTA и 100 мМ NaCl. К суспензии клеток добавляли SDS (Serva, ФРГ) до конечной концентрации 1% и после инкубации при 60° С в течение 10—15 мин добавляли проназу Е (Merck, ФРГ), преинкубированную 30 мин при 37° С, до концентрации 100 мкг/мл. Лизис клеток проводили 1,5—2 ч при 60° С при

небольшом перемешивании. Изат центрифугировали 5 мин со скоростью 40 000г при 20° С на центрифуге «Beckman J-21C» (ротор JA-20). Кинетопластную ДНК, содержащуюся в надосадочной жидкости, осаждали центрифугированием в течение 90 мин со скоростью 40 000г при 20° С. Осадок кпДНК супензировали в 100 мл буфера, содержащего 10 мМ трис-HCl (рН 8,0), 100 мМ EDTA и 100 мМ NaCl, обрабатывали 30 мин при 37° С панкреатической РНКазой (100 мкг/мл), затем 30 мин при 37° С проназой Е (50 мкг/мл). Далее ДНК дважды депротеинизировали фенолом или смесью хлороформ – изоамиловый спирт (24 : 1). КпДНК осаждали в течение 90 мин со скоростью 40 000г при 5° С. Для удаления примесей ядерной ДНК осаждение повторяли дважды, осадок кпДНК далее растворяли в 5 мл буфера, содержащего 10 мМ трис-HCl (рН 7,5), 1 мМ EDTA, и осаждали этанолом. Конечный выход кпДНК составляет 400–500 мкг. В ряде случаев для дополнительной очистки использовали препаративное ультрацентрифугирование кпДНК в градиенте плотности CsCl в присутствии бромистого этидия (300 мкг/мл). Исходное преломление раствора ДНК доводили до значения $n_{25} = 1,3890$, центрифугирование проводили в течение 40 ч при 142 000г на ультрацентрифуге К-32 (ротор У-65).

Препараты эндонуклеаз рестрикции *KpnI* и *PstI* получали по методу Кузьмина с соавт. [21]. Эндонуклеазы *EcoRI*, *SalI*, *HindIII*, *BamHI*, *BspI* и *MspI* были любезно предоставлены А. А. Янулайтисом (ВНИИ прикладной энзимологии, г. Вильнюс) и Н. П. Кузьминым (ИБФМ АН СССР, г. Пущино); *SmaI*, *XbaI* и *EcoRII* были получены с завода ферментативных препаратов при ИБФМ АН СССР. Обработку ДНК рестриктазами *EcoRI*, *BamHI* и *SalI* проводили в буфере, содержащем 50 мМ трис-HCl (рН 7,5), 50 мМ NaCl, 10 мМ MgCl₂; рестриктазами *XbaI*, *BspI*, *KpnI*, *MspI* и *HindIII* – в буфере, содержащем 10 мМ трис-HCl (рН 7,5), 10 мМ MgCl₂; рестриктазой *PstI* – в буфере, содержащем 90 мМ трис-HCl (рН 7,5), 10 мМ MgCl₂; рестриктазой *EcoRII* – в буфере, содержащем 50 мМ трис-HCl (рН 7,5), 10 мМ MgCl₂, 5 мМ DTT, 1 мМ EDTA; рестриктазой *SmaI* – в буфере, содержащем 15 мМ трис-HCl (рН 9,0), 6 мМ MgCl₂, 15 мМ KCl. При обработке ДНК эндонуклеазой *PstI* инкубацию проводили при 30° С, в остальных случаях – при 37° С.

Фрагменты максикольцевой ДНК разделяли электрофорезом в 0,7% агарозном теле (160×160×3 мм, агароза – «Sigma», тип II) с использованием электродного трис-ацетатного буфера, содержащего 40 мМ трис-ацетат (рН 7,7), 20 мМ ацетат натрия и 2 мМ EDTA. Гели окрашивали бромистым этидием (0,5 мкг/мл) и фотографировали в ультрафиолете с использованием красного светофильтра.

Для определения величины фрагментов ДНК в качестве свидетелей использовали *EcoRI*-фрагменты ДНК фага λ [22] и *EcoRII*- или *BspI*-фрагменты ДНК плазмиды pBR322 [23].

Электронную микроскопию ДНК проводили по методу Дэвиса и др. [24], в качестве стандарта использовали плазмиду pBR322 ($1,33 \pm 0,08$ мкм).

Авторы выражают благодарность А. А. Янулайтису и Н. П. Кузьмину за любезное предоставление препаратов рестриктаз, Л. З. Якубову за помощь в электронно-микроскопической характеристике кпДНК, В. В. Асееву и Н. П. Кузьмину за обсуждение работы.

ЛИТЕРАТУРА

1. Borst P., Hoeijmakers J. H. J. Plasmid, 1979, v. 2, № 1, p. 20–40.
2. Masuda H., Simpson L., Rosenblatt H., Simpson A. Gene, 1979, v. 6, № 1, p. 51–73.
3. Hoeijmakers J. H. J., Borst P. Biochim. et biophys. acta, 1978, v. 524, № 2, p. 407–411.
4. Зайцева Г. Н., Мерр Н. Л., Маслов Д. А., Лунина Л. Д., Колесников А. А. Биохимия, 1979, т. 44, № 10, с. 2073–2082.
5. Brunel F., Davison J., Vinh Ha Thi, Merchez M. Gene, 1980, № 12, p. 223–234.
6. Donelson J. E., Majiwa P. A. O., Williams R. O. Plasmid, 1979, № 2, p. 572–588.
7. Brack Ch., Bickle T. A., Yuan R. D. C., Baker D. C., Foulkes M., Newton B. A., Jenny L. In: Biochemistry of parasites and host-parasite relationships / Ed. van de Bossche H. Amsterdam / North-Holland publishing Co., 1976, p. 211–218.

8. Englund P. T. Cell, 1978, v. 14, № 1, p. 157–168.
 9. Weislogel P. O., Hoeijmakers J. H. J., Fairlamb A. H., Kleisen C. M., Borst P. Biochim. et biophys. acta, 1977, v. 478, № 1, p. 167–179.
 10. Steinert M., Van Assel S. Exp. Cell Res., 1976, v. 96, № 2, p. 406–409.
 11. Маслов Д. А., Энтелис Н. С., Колесников А. А., Зайцева Г. Н., Кузьмин Н. П., Фодор И. И. Докл. АН СССР, 1981, т. 261, № 5, с. 1271–1273.
 12. Simpson L., Simpson A. M., Kidane G., Livingston D., Spithill T. W. Amer. J. Trop. Med. Hyg., 1980, v. 29, № 5, Suppl, p. 1053–1062.
 13. Challberg S. S., Englund P. T. J. Mol. Biol., 1980, v. 138, № 5, p. 447–472.
 14. Stuart K. Plasmid, 1979, v. 2, № 3, p. 520–528.
 15. Borst P., Fase-Fowler F. Biochim. et biophys. acta, 1979, v. 565, № 1, p. 1–12.
 16. Riou G. F., Sausier J.-M. J. Cell. Biol., 1979, v. 82, № 2, p. 248–263.
 17. Frasch A. C. C., Hajduk S. L., Hoeijmakers J. H. J., Borst P., Brunel F., Davison J. Biochim. et biophys. acta, 1980, v. 607, № 2, p. 397–400.
 18. Borst P., Fase-Fowler F., Steinert M., Van Assel S. Exp. Cell Res., 1977, v. 110, № 2, p. 167–173.
 19. Borst P., Hoeijmakers J. H. J., Hajduk S. L. Parasitology, 1981, v. 82, № 1, p. 81–93.
 20. Cheng D., Simpson L. Plasmid, 1978, v. 1, № 2, p. 297–315.
 21. Кузьмин Н. П., Фодор И. И., Баев А. А. Докл. АН СССР, 1977, т. 236, № 2, с. 477–480.
 22. Daniels D. L., de Wet J. R., Blattner F. R. J. Virology, 1980, v. 33, № 2, p. 390–400.
 23. Sutcliff J. G. Nucl. Acids Res., 1978, v. 5, № 8, p. 2721–2728.
 24. Davis R. W., Simon M., Davison N. In: Methods in Enzymology. Vol. XXI. Nucleic Acids / Eds Grossman L., Moldave K. N. Y.—London: Acad. Press, 1974, p. 413–428.

Поступила в редакцию
18.XI.1981

KINETOPLAST DNA FROM *CRITHIDIA ONCOPELTI*. RESTRICTION MAPPING OF MAXICIRCULAR DNA

MASLOV D. A., ENTELIS N. S., KOLESNIKOV A. A.,
ZAITSEVA G. N.

M. V. Lomonosov State University, Moscow

Kinetoplast DNA (kDNA) from lower trypanosomatid *Crithidia oncophelti* exists in the form of a network of interlocked minicircular and maxicircular molecules. Minicircles which represent the main component of networks are heterogeneous both in size (1,1–2,6 kilobasepairs, kbp), and in base sequence. Maxicircular molecules are homogeneous; their size revealed by restriction analysis is about 24,5 kbp. Restriction map for endonucleases *Sal*I, *Bam*HI, *Hind*III, *Eco*RI, *Bsp*I and *Msp*I was constructed on the basis of cleavage data of the whole network and pCo52 hybrid plasmid carrying 12 kbp maxicircular insert generated by *Bam* HI.